

# Guten Morgen!

es geht bald los

Wdh: Gebäude: Simpl. Kplx + Zusatzzeichnungen

- überdeckt von Apartments
- Apartments sind alle isomorph zum selben Coxeter complex  $\Sigma(W, S)$

Typ des Gebäudes ist  $(W, S)$

bzw. das zugehörige Diagramm

bzw. Name  $X_n$  aus der Liste

der sphärischen & affinen Cox. gr.

- Bsp. für ein sphärisches Gebäude Fano Ebene

heute  
Bsp.  
hierfür

↑  
wenn der Typ  $(W, S)$  eine  
endliche Cox. gr. ist

affines Gebäude  $\cong (W, S)$  affine Cox. gr.

Ziel heute: Konstruktion eines affinen Gebäudes vom Typ  $D_{\infty}$

Apartments  $\rightarrow \Sigma \hat{=} \text{---} \circ \text{---} \circ \text{---} \circ \text{---} \circ \text{---} \circ \text{---}$

$SL_n(K)$

$\uparrow$  nicht-archimedisch mit Bewertung

heute:  $SL_2(\mathbb{Q}_p)$   $p$ -adische Zahlen

7.12  $p$ -adische Zahlen  $p$  prim (-Potenz)

$K = \mathbb{Q}$  und betrachten <sup>diskrete</sup> Bewertung

$$v_p: \mathbb{Q}^* \rightarrow \mathbb{Z} \quad v_p\left(\frac{a}{b}\right) = n$$

$$\text{wobei } n \text{ so, dass } \frac{a}{b} = p^n \cdot \frac{a'}{b'}$$

$a', b'$  teilerfremd zu  $p$

$$\text{Setze } v_p(0) = \infty$$

Eigenschaften:

$$v_p(x \cdot y) = v_p(x) + v_p(y)$$

$$v_p(x+y) \geq \min\{v_p(x), v_p(y)\}$$

$$\forall x, y \in K$$

$$\leadsto \text{Norm auf } \mathbb{Q}: \|x\|_p := p^{-v_p(x)}$$

$p$ -adische Zahlen := Vervollständigung von  $\mathbb{Q}$   
bzgl. dieser Norm  $\|\cdot\|_p$  Notation:  $\mathbb{Q}_p$

$$\text{Bewertungsring } \mathcal{O} = \mathbb{Z}_p = \{x \in K \mid v_p(x) \geq 0\}$$

uniformisierender Parameter  $\pi = p$  def. durch  $v_p(\pi) = 1$ .

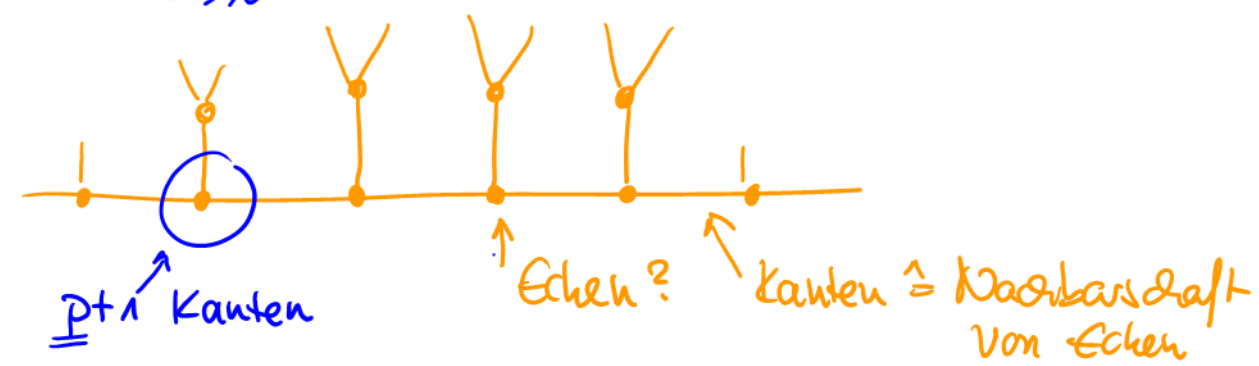
$$k := \mathcal{O}/\pi\mathcal{O} \quad \text{Residuenkörper} \quad (\cong \mathbb{F}_p)$$

7.13 Modell für  $\mathbb{Z}_p / \mathbb{Q}_p$ :

betrachte  $\mathbb{Z}_p$  als Menge  $\{ \sum_{n \geq 0} a_n p^n \mid a_n \in \mathbb{F}_p \}$   
 formale Reihen mit Koeff. im endl. Körper  $\mathbb{F}_p$

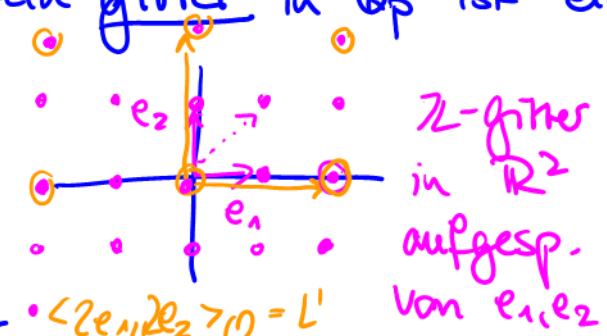
$\mathbb{Q}_p$  ist dann die Menge aller formaler  
 Brüche  $\frac{s}{p^n} \quad n \in \mathbb{N}, s \in \mathbb{Z}_p$ .

$$\mathbb{Q}_p \hat{=} \{ \sum_{n \geq \mathbb{N}} a_n p^n \mid n \in \mathbb{Z}, a_n \neq 0, a_n \in \mathbb{F}_p \}$$



Def 7.14 fitter(-klassen) in  $\mathbb{Q}_p^2$

Ein fitter in  $\mathbb{Q}_p^2$  ist ein endl. erz.  $\mathcal{O}$ -Modul des  $\mathbb{Q}_p^2$  erzeugt (über  $\mathbb{Q}_p$ )



Zwei fitter  $L$  und  $L'$  sind homothetisch  
 wenn gilt:  $\exists k \in K^* = \mathbb{Q}_p^*$  s.d.  
 $L' = k \cdot L \rightsquigarrow$  Klasse  $[L]$ .

$L = \langle e_1, e_2 \rangle_{\mathcal{O}} = \langle e_1, e_1 + e_2 \rangle_{\mathcal{O}}$

Bem 7.15

- verschiedene Basen liefern möglicherweise das selbe Gitter
- $\{b_1, b_2\} = B$ ,  $\{b'_1, b'_2\} = B'$  Basen, dann definieren diese das selbe Gitter wenn es eine Matrix  $A$  in  $SL_2(\mathbb{Z}_p)$  gibt s.d.  $B' = A \cdot B$

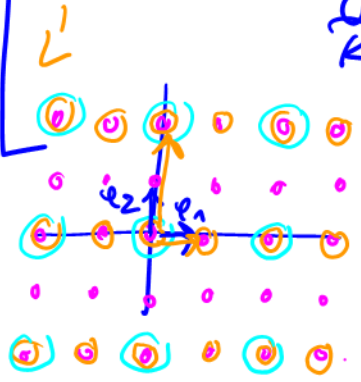
Gitterklassen werden die Ecken im Baum sein!

Def 7.16 (der  $SL_2(\mathbb{Q}_p)$ -Baum) <sup>noch z.z.</sup>

Fixiere  $p$  und definiere einen Graphen  $T_{p+1}$  wie folgt:

Ecken  $\hat{=}$  Gitterklassen  $[L]$  von  $\mathcal{O}$ -Gittern

Kanten: es gibt eine Kante zwischen zwei verschiedenen Gitterklassen  $[L]$  und  $[L']$  g.d.w. es Repräsentanten  $L$  von  $[L]$  und  $L'$  von  $[L']$  s.d.



$$\underbrace{\pi L \subset L' \subset L}_{2LC L'}$$

$$L' = \langle e_1, 2 \cdot e_2 \rangle_{\mathbb{Z}} \quad L = \langle e_1, e_2 \rangle_{\mathbb{Z}}$$

← versch. Klassen →

Keine Schleifen

hier hat selbe Klasse wie pink

Beobachtung: 7.17

$SL_2(\mathbb{Q}_p)$  wirkt auf dem Graph  $\overline{T}_{p+1}$  wie folgt:

$\perp$  Ecke und  $b_1, b_2$  Basis von einem Repräsentanten  $L$  von  $[L]$ ,  $L = \langle b_1, b_2 \rangle_{\mathbb{O}}$ . Sei  $A \in SL_2(\mathbb{Q}_p)$

Dann ist  $A.L = [\langle \underbrace{Ab_1, Ab_2}_{\text{Basis}} \rangle_{\mathbb{O}}]$  wieder Ecke in  $\overline{T}_{p+1} =: X$

Tatsächlich wirkt  $GL_2(\mathbb{Q}_p)$  auch.

7.18 Auf der Suche nach Apartments:

geg. eine Basis  $b_1, b_2$  von  $\mathbb{Q}_p^2$ , betrachte folgende Gitterklassen

$[\langle b_1, \pi^k b_2 \rangle_{\mathbb{O}}]$ ,  $k \in \mathbb{Z}$  z.B.  $\pi = 2$

$\mathbb{Z}$ -viele, paarw. verschieden



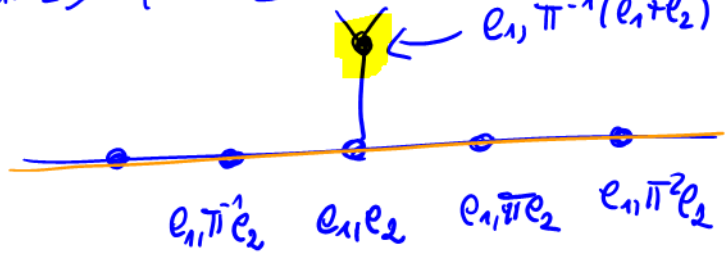
$[\langle b_1, \pi^{-1} b_2 \rangle_{\mathbb{O}}]$      $[\langle b_1, \pi^0 b_2 \rangle_{\mathbb{O}}]$      $[\langle b_1, \pi b_2 \rangle_{\mathbb{O}}]$      $[\langle b_1, \pi^2 b_2 \rangle_{\mathbb{O}}]$   
 $= [\langle \pi b_1, b_2 \rangle_{\mathbb{O}}]$      $[\langle b_1, \pi^0 b_2 \rangle_{\mathbb{O}}]$      $[\langle b_1, \pi b_2 \rangle_{\mathbb{O}}]$      $[\langle b_1, \pi^2 b_2 \rangle_{\mathbb{O}}]$

$\boxed{\pi L \subset L' \subset L}$

$L, L'$  versch. Repräs. der selben Klasse

$\pi L_1 \subset L_2 \subset L_1$

$\{b_1, b_2\} = \{e_1, e_2\}$  std. Basis  $\leadsto$  Apunkt  $A$



$\leadsto e_1, e_1 + e_2$

andere Basis

$\leadsto$  anderes Apunkt  $A'$

$\leadsto$  wie überlappt das mit  $A$ ?

### Lemma 7.19

Sei  $e_1, e_2$  std. Basis von  $\mathbb{Q}_p^2$  und  $L := \langle e_1, e_2 \rangle \mathcal{O}$ .

Sei  $A \in SL_2(\mathbb{Q}_p)$ , dann spannt  $Ae_1, Ae_2$  ein Gitter  $L'$  auf.

$[L] = [L'] \iff A \in SL_2(\mathcal{O})$

Satz 7.20 Der Graph  $X = \mathbb{T}_{p+1}$  ist ein Baum ohne Blätter,

d.h. ein Gebäude vom Typ Dos.

Fakt 7.21 Für je zwei Gitter  $L$  und  $L'$  gibt es eine

$\mathcal{O}$ -Basis  $b_1, b_2$  von  $L$  s.d.  $L'$   $\mathcal{O}$ -Basis der

Form  $b_1 \cdot \pi^a, b_2 \cdot \pi^b$  besitzt.

$\leadsto \{b_1, b_2 \pi^{b-a}\}$

Das Paar  $a, b$  hängt nicht von der Wahl der Basis ab. see Casselman

daraus folgt, dass

$[L], [L']$  in einem Apunkt sind

$L$  hat Basis  $b_1, b_2 \pi^0$   
 $L'$  hat Basis  $b_1 \pi^a, b_2 \pi^b$   $\rightarrow$   $b_1, b_2 \pi^{|b-a|}$  hat selbe Klasse  
 Es gilt:  $L' \subset L$  gdw  $a, b \geq 0 \rightsquigarrow L/L' \cong \mathcal{O}/\pi^a \oplus \mathcal{O}/\pi^b$

Restklot man  $L$  und  $L'$  mit Elementen  $x, y \in K^*$   
 erhält man  $\mathfrak{f}_x$  und  $\mathfrak{f}_y$  und die Exponenten  $a, b$  von oben werden ersetzt durch  $a+c, b+c$   
 wobei  $c = v_p(\frac{x}{y})$ .

$\rightsquigarrow |a-b| = |a+c - (b+c)|$  ist invariant unter  
 Restkloten also unabhängig vom Repräsentanten  $L$   
 bzw  $L'$  der jeweiligen  $\mathfrak{f}$ -Klasse.

guter Wert für Abstand



### Def. 7.22. Abstand von $\mathfrak{f}$ -Klassen

$\mathfrak{L} := [L]$  und  $\mathfrak{L}' := [L']$  zwei  $\mathfrak{f}$ -Klassen in  $X$

Setze:  $d(\mathfrak{L}, \mathfrak{L}') := |a-b|$

wobei  $a$  und  $b$  wie oben (d.h.  $\exists$  Basis  $b_1, b_2$  und Repräs.

$L$  und  $L'$  s.d.  $L = \langle b_1, b_2 \rangle_0$  und  $L' = \langle \pi^a b_1, \pi^b b_2 \rangle$   
 oder  $L' = \langle b_1, \pi^{a-b} b_2 \rangle$

### Lemma 7.23

Der Abstand  $d(L, L')$  ist 1 g.d.w.  $L$  und  $L'$  in  $K$  benachbart sind.

$$L = [L]$$

$$L' = [L']$$

Beweis:

Ann:  $d(L, L') = 1$ .

Dann gibt es eine Basis  $b_1, b_2$  mit  $\langle b_1, b_2 \rangle_0 = L$  und  $\langle \pi^a b_1, \pi^b b_2 \rangle_0 = L'$

wobei  $|a-b|=1 \Rightarrow \langle b_1, \pi^{b-a} b_2 \rangle_0 = L''$ ,  $[L''] = [L']$

Ann  $L$  und  $L'$  benachbart.

Zwei Möglichkeiten:  $\langle b_1, \pi b_2 \rangle_0$  } gerade die  
oder  $\langle b_1, \pi^{-1} b_2 \rangle_0$  } Nachbarn  
von  $L$

gibt Repräs.  $L$  und  $L'$  mit

$$\pi L \subset L' \subset L$$

↑ diese Bedingung erzwingt  $a-b = \pm 1$

im Apunt das von  $b_1, b_2$  aufgespannt wird.  $\square$